

KONFERENCJA: MODELOWANIE GÓRNICZYCH MASZYN WYCIĄGOWYCH  
9-10.XII.1977JAN CZAJA  
INSTYTUT MECHANIZACJI GÓRNICtwo  
POLITECHNIKA ŚLĄSKA  
GLIWICEOKREŚLENIE PRZEBIEGÓW SIŁ W LINACH NOŚNYCH I WYRÓWNAWCZYCH  
URZĄDZENIA WYCIĄGOWEGO W STANIE AWARYJNYM PRZY KRAŃCOWYM  
POŁOŻENIU NACZYŃ WYDOBYWCZYCH

W oparciu o model urządzenia wyciągowego, w którym uwzględniono sprężystość lin nośnych i wyrównawczych oraz ciągłe rozłożenie ich masy wyprowadzono równania sił dynamicznych w linach podczas hamowania krańcowego naczyn w wieży i rzapiu. Przedstawiono przykład obliczeń dla dużego urządzenia wyciągowego z maszyną usytuowaną na wieży, przebiegi sił i przyspieszeń naczyn zilustrowano graficznie.

1. Wstęp

Konsekwencją większości awarii zaistniałych w podzespołach maszyn wyciągowych jest przejazd naczyn wydobywczych poza poziomy skrajne w wieży i rzapiu tj. w obręb tzw. wolnych dróg przejazdu. Na części długości tych dróg zabudowane są awaryjne urządzenia hamujące, których zadaniem jest wytracenie energii kinetycznej będących w ruchu postępowym i obrotowym mas wyciągu, poprzez oddziaływanie na poruszające się naczynia. Pewna część przejazdów awaryjnych kończy się uderzeniem naczynia w belki odbojowe w wieży, co przeważnie powoduje zerwanie lub uszkodzenie lin nośnych i wyrównawczych oraz elementów naczyn. Większość prac dotyczących hamowania krańcowego koncentruje się wokół samych rozwiązań konstrukcyjnych urządzeń hamujących naczynia w wolnych drogach przejazdu, przy czym założenia wyjściowe nie są zwykle poprawne, gdyż oparte są na bardzo uproszczonym modelu wyciągu szybowego. Dlatego też jednym z pierwszoplanowych problemów teoretycznych w tym względzie, jest określenie charakterystyk mechanicznych tych urządzeń w oparciu o model, który względnie dobrze odzwierciedla główne cechy obiektu rzeczywistego tj. urządzenia wyciągowego. Rzecz sprowadza się przede wszystkim do prawidłowego uwzględnienia masy i sprężystości lin nośnych i wyrównawczych wyciągu.

## 2. Model mechaniczny urządzenia wyciągowego

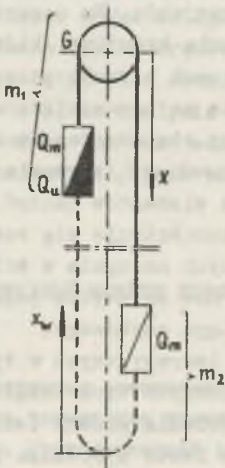
Dla matematycznego opisu zjawisk dynamicznych zachodzących w urządzeniu wyciągowym buduje się jego mniej lub bardziej skomplikowany model, którego działanie następnie, w miarę technicznych możliwości sprawdza się na obiekcie rzeczywistym.

W literaturze przyjętą się powszechnie za [3] podział mas wyciągu na dwie grupy różniące się znacznie między sobą sztywnością, a mianowicie:

- masy o dużej sztywności /nawet doskonale sztywne/ to zredukowane na średnicę przewijania liny masy: nośnika liny, wału, silnika napędowego, przekładni i kół linowych oraz masy obu naczyń wydobywczyc,
- masy o mniejszej sztywności to liny nośne i wyrównawcze.

Przy opisie dynamiki lin najczęściej stosuje się model sprężysty, ewentualnie przy dłuższych przebiegach czasowych model lepko-sprężysty, przy czym uwzględnia się ciągłość rozłożenia masy lin lub się ją dyskretyzuje zależnie od wymaganej dokładności wyników. W przypadku masy lin rozłożonej w sposób ciągły korzysta się z równania falowego [1], [2] lub równania energii układu, co powoduje konieczność rozwiązania równań różniczkowych cząstkowych. Dyskretyzacja układu prowadzi w efekcie bądź to do opisu modelu równaniami różnicowymi, bądź to układem równań różniczkowych liniowych dając, przy znacznym uproszczeniu obliczeń pogorszenie dokładności rozwiązania [4], [5].

Poniżej przedstawiono rozwiązanie problemu na modelu urządzenia wyciągowego z tarczą pędną usytuowaną na wieży w oparciu o równanie falowe. W modelu jak na rys.1 przyjęto niezbędne uproszczenie:



Rys.1. Model urządzenia wyciągowego z maszyną na wieży bez kół odchylających

- masy wirujące oraz oba naczynia są doskonale sztywne,
- liny nośne i wyrównawcze są doskonale sprężyste,
- charakterystyki dynamiczne lin nośnych i wyrównawczych są takie same i stałe na całej długości,
- długość lin jest w procesie hamowania stała,
- odcinek liny od naczynia górnego do tarczy pędnej jest doskonale sztywny, masę naczynia górnego i zredukowane masy wirujące traktuje się łącznie,
- do masy naczynia dolnego włączono masę krótkiego odcinka liny wyrównawczej,
- przez pętlę liny wyrównawczej w nawrocie nie są przenoszone drgania z jednej strony na drugą,
- pomija się drgania poprzeczne i skrętne lin.

Założono ponadto, że hamowanie awaryjne odbywa się tylko przy pomocy sił  $F_1$  i  $F_2$  przyłożonych do naczyń przy wyłączonym silniku głównym i nie działającym hamulcu maszyny, a poślizg niesprężysty liny na tarczy pędnej nie występuje. Analizie poddano przebiegi dynamiczne odkształceń, przemieszczeń, sił itd., ponieważ składowe statyczne odkształceń, sił oraz prędkość unoszenia i opóźnienie wolnego wybiegu wygodnie jest uwzględnić w końcowej fazie rozważań przy doborze bezwzględnych wartości poszczególnych wielkości.

Równanie falowe

$$\frac{\partial^2 u}{\partial t^2} = a^2 \frac{\partial^2 u}{\partial x^2} \quad (1)$$

przy warunkach początkowych

$$\left. \begin{aligned} \frac{\partial u(x,0)}{\partial t} &= v \\ u(x,0) &= 0 \end{aligned} \right\} \quad (2)$$

i warunkach brzegowych

$$\left. \begin{aligned} m_1 \frac{\partial^2 u(0,t)}{\partial t^2} &= S - S_w - F_1 \\ m_2 \frac{\partial^2 u(l,t)}{\partial t^2} &= -S - F_2 \end{aligned} \right\} \quad (3)$$

gdzie:

$u(t,x)$  - przemieszczenie dynamiczne przekroju  $x$  liny nośnej,

$a = \sqrt{\frac{E}{\rho}}$  - prędkość rozchodzenia się fali sprężystego odkształcenia podłużnego liny,

$v$  - prędkość mas wyciągu w chwili rozpoczęcia hamowania krańcowego,

$S, S_w$  - siły wzdłużne w linie nośnej i wyrównawczej,

$m_1, m_2$  - masy skupione w wieży i rzapiu,

rozwiązano dla liny nośnej i wyrównawczej w postaci przekształconej za pomocą transformacji Laplace'a - Carsona  $\bar{u}(x,s) = \mathcal{L}[u(x,t)]$  przyjmując skokowe przyłożenie sił hamujących  $F_1$  i  $F_2$ . W efekcie otrzymano przekształcone wzory na siły dynamiczne w linach

$$\bar{S} = \frac{F_1}{q \cdot M} \left[ k_2 \cdot q \cdot \cosh q \left(1 - \frac{x}{l}\right) + \sinh q \left(1 - \frac{x}{l}\right) \right] - \frac{F_2}{q \cdot M} \left[ \sinh q \frac{x}{l} + \left(k_1 q + \operatorname{tgh} q \frac{l-w}{l}\right) \cdot \cosh q \frac{x}{l} \right] \quad (4)$$

$$\bar{S}_w = -\frac{1}{q \cdot M} \left[ F_1 (k_2 q \sinh q + \cosh q) + F_2 \right] \operatorname{tgh} q \frac{l-w}{l} \quad (5)$$

gdzie:  $q = s \frac{1}{I}, k_1 = \frac{m_1}{I}, k_2 = \frac{m_2}{I}$

$$M = \left[ k_1 k_2 q^2 + k_2 q \operatorname{tgh} q \frac{1}{I} + 1 \right] \sinh q + \left[ (k_1 + k_2) q + \operatorname{tgh} q \frac{1}{I} \right] \cosh q \quad (6)$$

Funkcji pierwotnych  $S(x, \tau)$  i  $S_w(x, \tau)$  poszukuje się korzystając z twierdzenia o residuum

$$S(x, \tau) = \sum_{m=0}^{\infty} \operatorname{res} \left[ \bar{S}(x, q) \exp q\tau \right]$$

gdzie:  $\tau = \frac{a}{I}$  - czas względny,

$q_m$  - bieguny funkcji  $\bar{S}(x, q)$

Pierwszy biegun  $q = 0$  jest rzeczywisty dwukrotny /ponieważ dla  $q = 0$ ,  $M = 0$ /. Kolejne bieguny znajduje się z zależności  $M = 0$ , co daje w efekcie postać równania charakterystycznego

$$\operatorname{tgh} q_m = \frac{-(k_1 + k_2) q_m - \operatorname{tgh} q_m \frac{1}{I}}{k_1 k_2 q_m^2 + k_2 q_m \cdot \operatorname{tgh} q_m \frac{1}{I} + 1} \quad (7)$$

Można udowodnić, że wzór (7) jest słuszny dla nierzeczywistych wartości  $q_m = \pm i\alpha_m$ , tak więc po przekształceniach

$$\operatorname{tg} \alpha_m = \frac{(k_1 + k_2) \alpha_m + \operatorname{tg} \alpha_m \frac{1}{I}}{k_1 k_2 \alpha_m^2 + k_2 \cdot \alpha_m \cdot \operatorname{tg} \alpha_m \frac{1}{I} - 1} \quad (8)$$

natomiast wartość funkcji  $S(x, \tau)$  wyniesie

$$S(x, \tau) = \operatorname{res}_{q=0} \left[ \bar{S}(x, q) \exp q\tau \right] + \sum_{m=1}^{\infty} \operatorname{res}_{q=q_m} \left[ \bar{S}(x, q) \exp q\tau \right]$$

co praktycznie oblicza się za pomocą granic

$$S(x, \tau) = \lim_{q \rightarrow 0} \frac{d}{dq} \left[ \bar{S}(x, q) \cdot (q - 0)^2 \exp q\tau \right] + \sum_{m=1}^{\infty} \lim_{q \rightarrow \pm i\alpha_m} \left[ \bar{S}(x, q) \cdot (q \mp i\alpha_m) \cdot \exp q\tau \right] \quad (9)$$

Podobnie oblicza się  $S_w(x, \tau)$ .

### 3. Przebiegi czasowe sił dynamicznych w linach urządzenia wyciągowego podczas hamowania krańcowego naczyni

Mając na uwadze dążenie do znalezienia optymalnych proporcji pomiędzy siłami  $F_1$  i  $F_2$  hamującymi oba naczynia, dogodnie jest w dalszej analizie procesu znaleźć odpowiedź modelu na jednostkowe wymuszenie  $F_1 = F_2 = 1$ . Należy poza tym zauważyć we wzorach (4) i (5), że siły  $S$  i  $S_w$  są sumą odpowiedzi od sił wymuszających  $F_1$  i  $F_2$ , co można zapisać

$$S(x, \tau) = S_{F_1}(x, \tau) + S_{F_2}(x, \tau),$$

$$S_w(x, \tau) = S_{wF_1}(x, \tau) + S_{wF_2}(x, \tau). \quad (10)$$

Aby wykonać obliczeń sił zgodnie z wzorem (9) należy najpierw znaleźć liczbowe wartości biegunów  $\alpha_m$ , czyli rozwiązać równanie (8). Można to przeprowadzić np. metodą graficzno-analityczną. Jeżeli dla prostoty rachunku przyjmąc, że  $l_m = 1$ , co z błędem najwyżej kilkuprocentowym ma miejsce w rzeczywistości to wzór (8) po przekształceniu uprości się do postaci

$$\operatorname{tg} \alpha_m = \sqrt{\frac{2 - k_1 k_2 \alpha_m^2 \pm 4 + k_1^2 \cdot k_2^2 \alpha_m^4 + 4 k_2^2 \alpha_m^2}{2 k_2 \alpha_m}} \quad (11)$$

Rozwiązanie pokazano na rys.2. Funkcja po prawej stronie równości posiada dwie gałęzie, przy czym gałąź dodatnia /ściślej nieparzyste  $\alpha$  / obrazuje drgania liny nośnej, - ujemna zaś drgania liny wyrównawczej o swobodnym, nieobciążonym końcu. Znając współczynniki  $\alpha_m$  przy kolejnych częstościach drgań własnych można wyprowadzić z (9) wzory na siły dynamiczne w linach spowodowane jednostkowymi wymuszeniami  $F_1 = F_2 = 1$ .

$$S_{F_1=1} = \frac{k_2 + 1 - \frac{\tau}{l}}{2 + k_1 + k_2} + 2 \sum_{m=1}^{\infty} \frac{1}{\alpha_m \cdot N_m} \left[ k_2 \alpha_m \cos \alpha_m \left(1 - \frac{\tau}{l}\right) + \sin \alpha_m \left(1 - \frac{\tau}{l}\right) \right] \cos \alpha_m \tau \quad (12)$$

$$S_{F_2=1} = -\frac{k_1 + \frac{\tau}{l} + 1}{2 + k_1 + k_2} - 2 \sum_{m=1}^{\infty} \frac{1}{\alpha_m \cdot N_m} \left[ \sin \alpha_m \frac{\tau}{l} + \left(k_1 \alpha_m + \operatorname{tg} \alpha_m\right) \cos \alpha_m \frac{\tau}{l} \right] \cos \alpha_m \tau \quad (13)$$

$$S_{wF_1=1} = -\frac{1}{2 + k_1 + k_2} - 2 \sum_{m=1}^{\infty} \frac{1}{\alpha_m \cdot N_m} \left[ \cos \alpha_m - k_2 \alpha_m \cdot \sin \alpha_m \right] \operatorname{tg} \alpha_m \cdot \cos \alpha_m \tau \quad (14)$$

$$S_{wF_2=1} = -\frac{1}{2 + k_1 + k_2} - 2 \sum_{m=1}^{\infty} \frac{1}{\alpha_m \cdot N_m} \operatorname{tg} \alpha_m \cdot \cos \alpha_m \tau, \quad (15)$$

gdzie:  $N_m = \frac{dM}{dq}$

$$N_m = \frac{dM}{dq} \Big|_{q=i\alpha_m} = - \left[ (k_1+k_2+2k_1k_2+k_2 \cdot \sec^2 \alpha_m) \alpha_m + (1+k_2) \operatorname{tg} \alpha_m \right] \sin \alpha_m -$$

$$- \left[ k_1k_2 \alpha_m^2 + \alpha_m k_2 \operatorname{tg} \alpha_m - k_1 - k_2 - 1 - \sec^2 \alpha_m \right] \cos \alpha_m. \quad (16)$$

Jak widać w powyższych wzorach występuje człon stały odpowiadający średniej sile dynamicznej w linach oraz m członów oscylacyjnych obrazujących składowe zmienne siły o częstościach  $\alpha_m \cdot \frac{S}{l}$ .

Tytułem przykładu wykonano obliczenia dla modelu urządzenia wyciągowego o następujących parametrach:

- $G = 61,3 \text{ Mg}$  - zregulowana masa części wirujących,  
 $Q_u = 50 \text{ Mg}$  - masa ładunku użytecznego,  
 $Q_m = 40 \text{ Mg}$  - masa naczynia,  
 $l = l_w = 1450 \text{ m}$  - długości lin,  
 $\gamma = \gamma_w = 52,2 \text{ kg m}^{-1}$  - masa 1 mb lin,  
 $a = 4200 \text{ m s}^{-1}$ .

Odpowiednie stosunki mas wynoszą

$$k_1 = 1,14; \quad k_2 = 0,5$$

zaś wyliczone z równania charakterystycznego (11) współczynniki  $\alpha$  rad są następujące:

$$\alpha_1 = 1,2333; \quad \alpha_2 = 2,038; \quad \alpha_3 = 3,79; \quad \alpha_4 = 4,897; \quad \alpha_5 = 6,7;$$

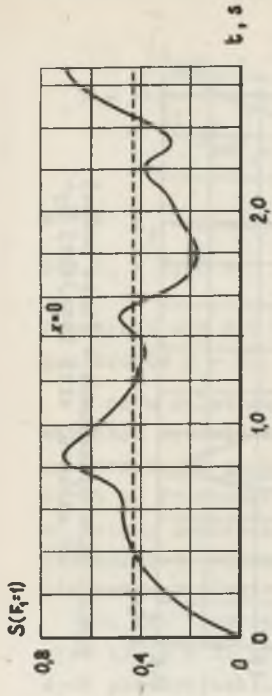
$$\alpha_6 = 7,97; \quad \alpha_7 = 9,76.$$

Dla najbardziej interesujących przekrojów lin  $x = 0$ ,  $x_w = l_w$ , oraz  $x = l$  przedstawiono na kolejnych wykresach rys.3 do 8 przebiegi sił dynamicznych spowodowanych skokowym przyłożeniem do naczyń mas  $m_1$  i  $m_2$  jednostkowych sił hamujących  $F_1 = F_2 = 1$ .

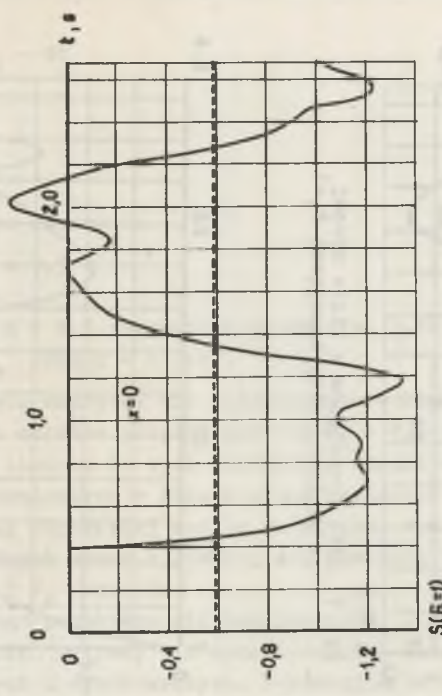
Z przyczyn technicznych siła hamująca  $F_1$  musi być oczywiście większa od siły  $F_2$ . Odpowiedniego stosunku  $h = F_1/F_2$  można poszukiwać kierując się różnymi kryteriami np.:

- rozkładem mas wyciągu na które działają te siły,
- minimalizacją składowych zmiennych sił dynamicznych  $S = S_{F_1} + S_{F_2}$ ,  
 $S_w = S_{w_{F_1}} + S_{w_{F_2}}$  w linach nośnych i wyrównawczych,
- minimalizacją składowych zmiennych sumy sił dynamicznych działających na masę  $m_1$  i na masę  $m_2$ ,
- minimalizacją całkowitej drogi hamowania w wieży i rzapiu.

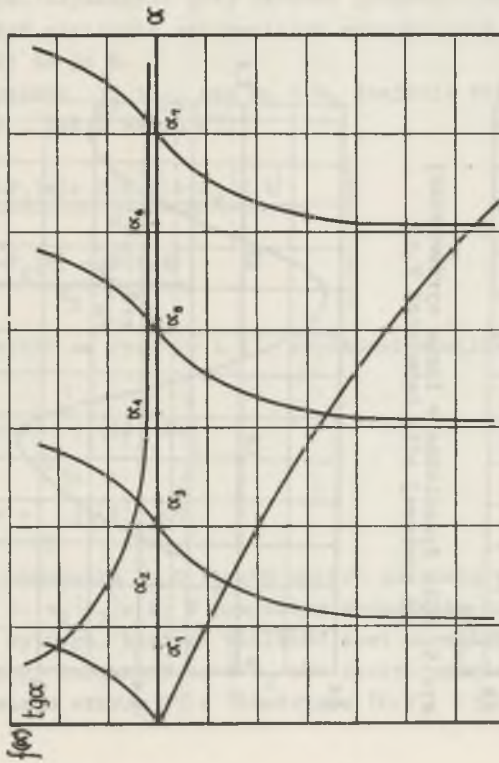
Pierwszą np. częstość drgań siły w najbardziej obciążonym przekroju liny nośnej  $x = 0$  można wygasić przy  $h = 3,6$ , zaś minimalizację składowych zmiennych siły  $S$  w tym przekroju można uzyskać przy



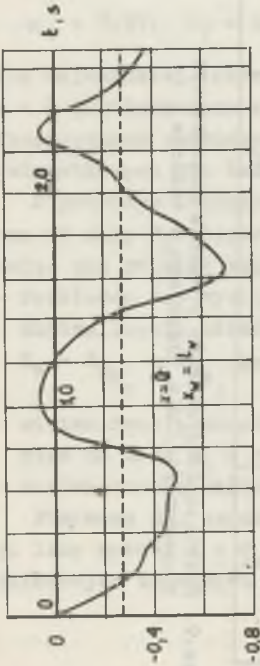
Rys.3. Siła dynamiczna w linie nośnej od skokowej siły hamującej  $F_1=1$



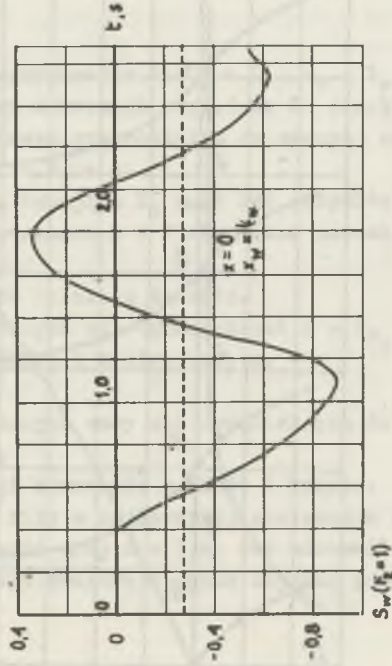
Rys.4. Siła dynamiczna w linie nośnej od skokowej siły hamującej  $F_2=1$



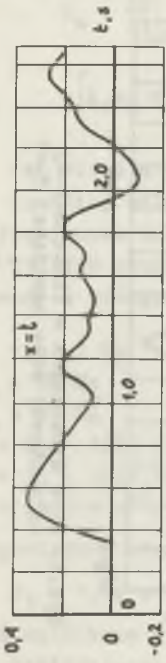
Rys.2. Rozwiązanie graficzne równania charakterystycznego /11/ dla przykładu w tekście



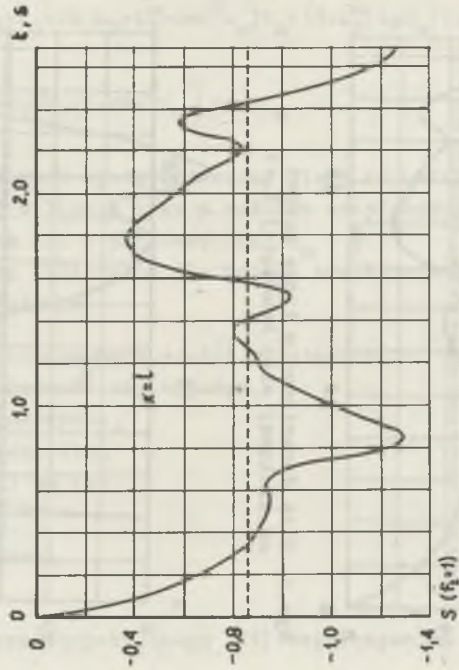
Rys.5. Siła dynamiczna w linie wyrównawczej od skokowej siły hamującej  $F_1=1$



Rys.6. Siła dynamiczna w linie wyrównawczej od skokowej siły hamującej  $F_2=1$



Rys.7. Siła dynamiczna w linie nośnej od skokowej siły hamującej  $F_1=1$



Rys.8. Siła dynamiczna w linie nośnej od skokowej siły hamującej  $F_2=1$



$$h = \frac{\int_0^{t_1} S_{zmF_1=1} \cdot S_{zmF_2=1} \cdot dt}{\int_0^{t_1} S_{zmF_1=1}^2 \cdot dt} \quad (17)$$

gdzie:  $t_1$  - domniemany czas hamowania.

Dla  $t_1 = 2,68$  s,  $h = \frac{F_1}{F_2} = 2,5$

Przebiegi sił  $S$  i  $S_w$  przy  $h = 2,5$  przedstawiono na rys. 9, 10 i 11 dla przekrojów  $x = 0$ ,  $x_w = l_w$  oraz  $x = l$  liny.

W celu dalszego obniżenia nadwyżek sił dynamicznych w linach ponad wartości średnie zmieniono skokowe przyłożenie sił  $F_1 = 2,5$  i  $F_2 = 1,0$  na początkowo narastające liniowo do tych wartości w czasie od 0 do 0,525 s. Przebiegi sił dynamicznych w linach można wyznaczyć stosunkowo łatwo, ponieważ znane są odpowiedzi modelu na skokowe wymuszenia jednostkowe, szeregiem których można z dowolną dokładnością zastąpić liniowe narastanie sił  $F_1$  i  $F_2$  /rys.12/.

Dla tak zaprogramowanego przebiegu sił hamujących  $F_1$  i  $F_2$  na rys. 13, 14 i 15 przedstawiono wykresy sił dynamicznych w interesujących przekrojach lin nośnych i wyrównawczych. Porównując je z poprzednimi wykresami uzyskanymi przy skokowo przyłożonych siłach hamujących można zauważyć obniżenie maksymalnych wartości sił dynamicznych w linach o ok. 23 do 38 %.

Przyspieszenia  $j_1$  i  $j_2$  mas  $m_1$  i  $m_2$  znajduje się z sumy sił na nie działających i tak z wzoru (3)

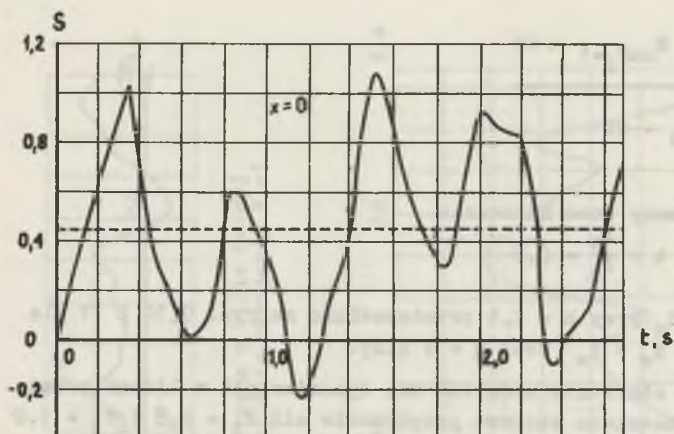
$$\left. \begin{aligned} j_1(t) &= \frac{-F_1(t) + S(0,t) - S_w(0,t)}{m_1} \\ j_2(t) &= \frac{-F_2(t) - S(1,t)}{m_2} \end{aligned} \right\} \quad (18)$$

co przedstawiono na rys. 16 i 17. Prędkości chwilowe mas  $m_1$  i  $m_2$  wynoszą

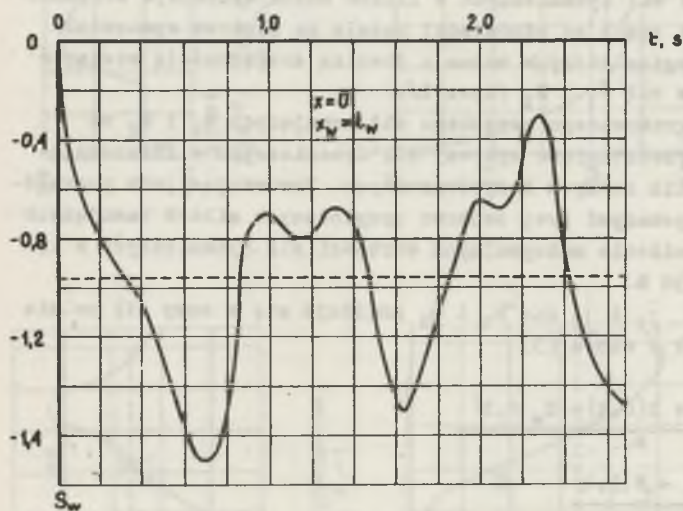
$$\left. \begin{aligned} v_1(t) &= v + \int_0^{t_1} j_1(t) dt \\ v_2(t) &= v + \int_0^{t_2} j_2(t) dt \end{aligned} \right\} \quad (19)$$

gdzie czasy hamowania  $t_1$  i  $t_2$  obu naczyń znajdują się po przyrównaniu  $v_1(t_1) = 0$ ,  $v_2(t_2) = 0$ . W powyższym rozważaniu pominięto opóźnienie wolnego wybiegu, którego wielkość jest stosunkowo mała.

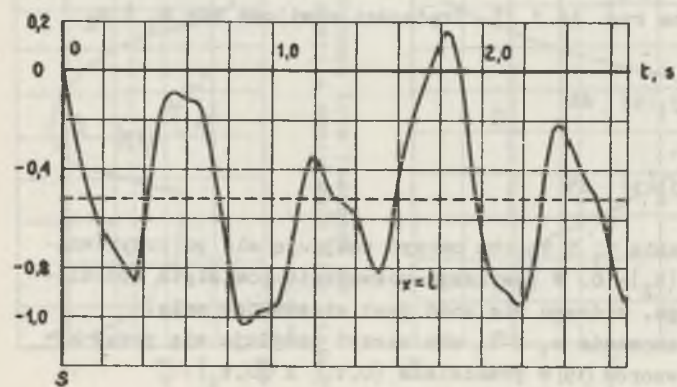
Całkowite drogi hamowania  $z_1$  i  $z_2$  obu naczyń znajduje się przez kolejne całkowanie wzorów (19) w przedziale  $(0, t_1)$  i  $(0, t_2)$ .



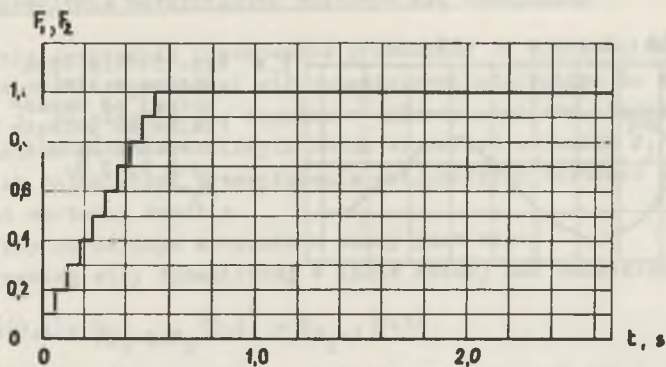
Rys.9. Siła dynamiczna w linii nośnej od skokowych sił hamujących  $F_1=2,5$ ;  $F_2=1$



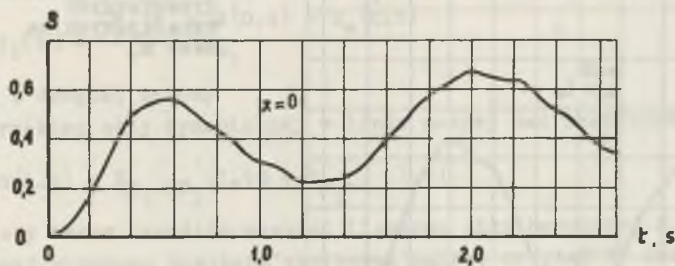
Rys.10. Siła dynamiczna w linii wyrównawczej od skokowych sił hamujących  $F_1=2,5$ ;  $F_2=1$



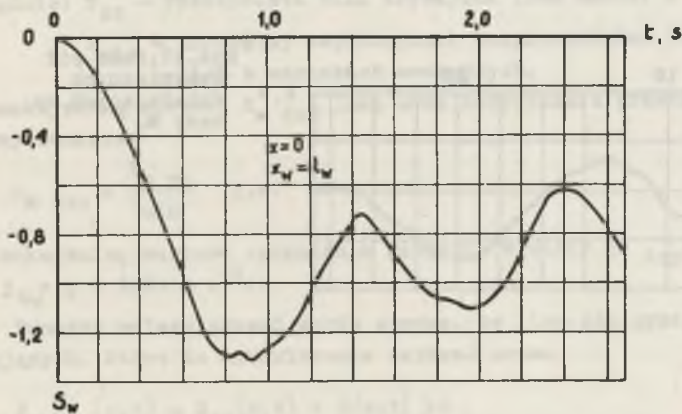
Rys.11. Siła dynamiczna w linii nośnej od skokowych sił hamujących  $F_1=2,5$ ;  $F_2=1$



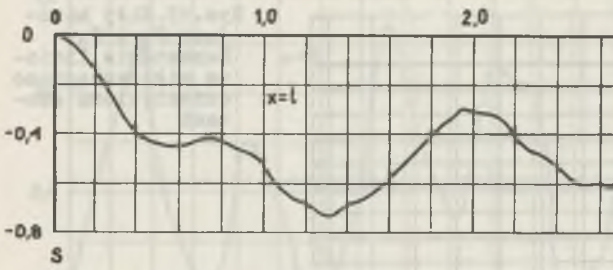
Rys.12. Siły hamujące  $F_1$  i  $F_2$ . Narastanie liniowe sił zastąpiono dziesięcioma skokami



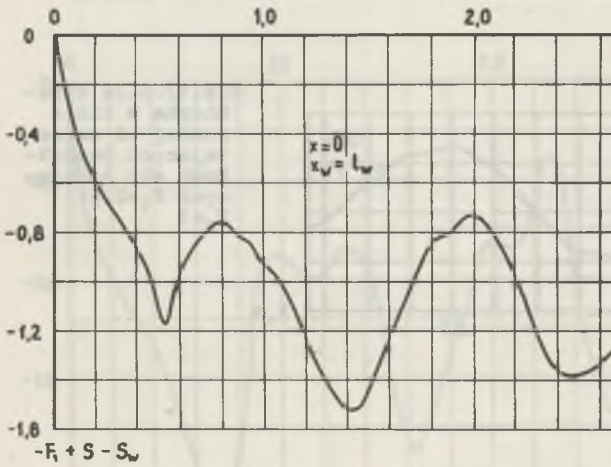
Rys.13. Siła dynamiczna w linii nośnej od narastających początkowo sił hamujących  $F_1=2,5$ ;  $F_2=1$



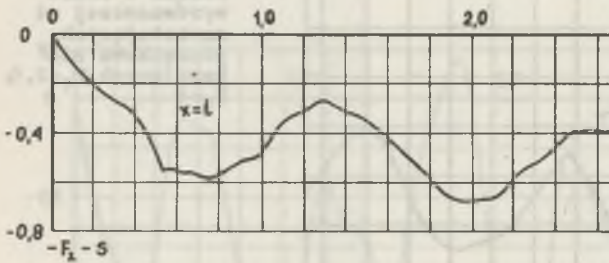
Rys.14. Siła dynamiczna w linii wyrównawczej od narastających początkowo sił hamujących  $F_1=2,5$ ;  $F_2=1$



t, s Rys.15. Siła dynamiczna w linii nośnej od narastających początkowo sił hamujących  $F_1=2,5$ ;  $F_2=1$



t, s Rys.16. Suma sił dynamicznych działających na masę  $m_1$



t, s Rys.17. Suma sił dynamicznych działających na masę  $m_2$

4. Określenie maksymalnych wartości sił hamujących

Całe poprzednie rozumowanie prowadzono na wielkościach względnych tj. wszystkie przebiegi sił dynamicznych odniesiono do siły hamującej  $F_2 = 1$ , co okazuje się wygodne w dalszej analizie. Podano również kryteria, na podstawie których można wyznaczyć stosunek  $F_1/F_2$  zapewniający jak najmniejsze przewyższenia maksymalnych wartości sił w linach ponad wartości średnie.

Przy określonym stosunku  $h$  znany jest więc:

- przebieg siły dynamicznej w linie nośnej nad naczyniem w wieży

$$S(0, t) = S_{F_1=h \cdot F_2}(0, t) + S_{F_2=1}(0, t)$$

- przebieg siły dynamicznej w linie wyrównawczej pod naczyniem w wieży

$$S_w(0, t) = S_{wF_1=hF_2}(0, t) + S_{wF_2=1}(0, t)$$

- przebieg przyspieszenia masy  $m_1$

$$j_1(t) = \frac{-F_1(t) + S(0, t) - S_w(0, t)}{m_1}$$

a z drugiej strony

- przebieg siły dynamicznej w linie nośnej nad naczyniem w rzapiu

$$S(1, t) = S_{F_1=hF_2}(1, t) + S_{F_2=1}(1, t).$$

Aby teraz określić wartość liczbową siły hamującej  $F_2$ , za pomocą której wyrażono powyższe wielkości należy przyjąć do dalszych rozważań

- maksymalną wartość siły  $S_{dop}$  jaką może bezpiecznie przenieść lina nośna

$$S_{dop} = \frac{P_{rz}}{n_{min}}, \quad (20)$$

gdzie:  $P_{rz}$  - rzeczywista siła zrywająca linę nośną,  $N$

$n_{min}$  - minimalny współczynnik bezpieczeństwa liny przed zerwaniem w warunkach awaryjnych,

- maksymalną wartość  $S_w dop$  jaką może bezpiecznie przenieść lina wyrównawcza

$$S_w dop = \frac{P_w rz}{n_{min}} \quad \text{j.w.} \quad (20')$$

- maksymalną wartość opóźnienia naczynia w wieży  $j_{1 dop}$ , /najczęściej  $j_{1 dop} = g = 9,81 \text{ m s}^{-2}$ /. (21)

Ponadto należy zdawać sobie sprawę, że liny nie przenoszą sił ściskających, które to ograniczenie zapisać można

$$S_{całk}(x, t) = S_{st}(x, t) + S(x, t) \geq 0, \quad (22)$$

gdzie:  $S_{całk}$  - całkowita siła w linie nośnej,

$S_{st}$  - statyczna siła w linie nośnej od zawieszonych ciężarów.

W linie nośnej warunek ten nie zawsze musi być spełniony dla  $x = 1$  tj. nad naczyniem w rzapiu, w szczególności bowiem przy intensywnym hamowaniu krańcowym następuje tam zluźnienie liny, co nie jest specjalnie niebezpieczne ponieważ później nie następuje jej ponowne gwałtowne obciążenie. Zmienia się jednak wtedy model wyciągu, gdyż koniec  $x = 1$  liny jest swobodny.

Ważniejsze jest spełnienie warunku (22') w linie wyrównawczej

$$S_w \text{ całk}(x_w t) = S_w \text{ st}(x_w t) + S_w(x_w t) \gg 0 \quad (22')$$

gdyż w tym przypadku pozorne napięcie zluźwanej liny przy jej sztywnym mocowaniu do naczynia w wieży może łatwo spowodować jej zerwanie w przekroju  $x_w = 1_w$ .

Warunki (20) i (22) można zapisać łącznie

$$\left. \begin{aligned} 0 \leq S_{st}(x, t) + S(x, t) &\leq S_{dop} = \frac{P_{rz}}{n_{min}} \\ 0 \leq S_w \text{ st}(x_w, t) + S_w(x_w, t) &\leq S_w \text{ dop} = \frac{P_w \cdot P_{rz}}{n_{min}} \end{aligned} \right\} \quad (23)$$

Po wstawieniu do warunków (23) wartości obciążenia statycznego w wybranych przekrojach liny nośnej i wyrównawczej można wyznaczyć z nich wartość liczbową górnej i dolnej granicy sił dynamicznych. Granice te można nanieść na wykresy sił dynamicznych  $S(0, t)$ ,  $S(1, t)$  i  $S_w(0, t)$  w taki sposób aby przebiegi sił nie wychodziły poza ich obręb. Podobnie warunek (21) nanosi się na wykres przyspieszenia  $j_1(t)$ . Przyrównując wartości liczbowe naniesionych granic sił i przyspieszenia z wyrażonymi krotnością  $F_2 = 1$  wartościami osi rzędnych wspomnianych wykresów dostaje się zbiór wartości  $F_2$  wyrażonych w jednostkach siły. Ze zbioru tego wybiera się najmniejszą wartość  $F_2$ , gdyż tylko ona spełnia warunki (21) i (23). Wartość siły hamującej  $F_1$  jest oczywiście  $h$  - krotnie większa.

## 5. Uwagi końcowe

Przedstawiona w niniejszym opracowaniu metoda rozwiązania zagadnienia hamowania krańcowego naczyni stanowi pewien krok naprzód w stosunku do spotykanych często rozwiązań nie uwzględniających sprężystości liny wyrównawczej. Daje też dokładniejsze w porównaniu z modelami dyskretnymi wyniki, a ponieważ rozwiązanie przeprowadza się na drodze analitycznej - technikę cyfrową wykorzystuje się tylko pomocniczo w końcowej fazie do wyliczenia samych przebiegów czasowych, nie zaś do rozwiązywania układu dużej liczby równań różniczkowych opisujących model dyskretny. Ponieważ do samego końca operuje się wartościami względnymi można zagadnienie ująć kompleksowo, co jest o wiele trudniejsze w roz-

wiązwanym na m.c. modelu dyskretnym, gdzie rozwiązania optymalnego poszukuje się metodą kolejnych prób, przez wprowadzanie np. kolejnych zdeterminowanych charakterystyk sił hamujących.

Poza tym należy zaznaczyć, że w pracy podano możliwość znalezienia optymalnych charakterystyk sił hamujących, ograniczoną do dwóch parametrów, a mianowicie:

- stosunku  $h = F_1/F_2$ ,
- czasu narastania sił hamujących.

Dzięki zastosowanej metodzie badania modelu wyciągu na wymuszenia jednostkowe można ilość tych parametrów powiększyć o

- zróżnicowanie czasów narastania sił hamujących,
- wprowadzenie zwłoki pomiędzy hamowaniem w wieży i rzapiu,
- założenie innych niż liniowe i stałe - charakterystyk sił hamujących.

#### Spis literatury

- [1] Fitzpatrick R.D., Maguire B.A.: "A theoretical investigation into the arresting of friction winders in the event of an overwind". SMRE Research Report No 214, 1963.
- [2] Knop H.: "Wybrane zagadnienia dynamiki urządzeń wyciągowych". Zeszyty Naukowe AGH. Z.67. Kraków 1975.
- [3] Niesterow A.P.: "O приведении распределенных масс канатов многоканатной подъемной установки". Вопросы Рудничного Транспорта. Выпуск 10. Недра. Москва 1967.
- [4] Szklarski L., Skalny A.: "Teoretyczne zagadnienia maszyn wyciągowych". Część I. PWN Warszawa 1975.
- [5] Wójcik M.: "Analiza dynamiczna procesu awaryjnego hamowania urządzenia wyciągowego po przejeździe skrajnych poziomów". Rozprawa doktorska. AGH Kraków 1976.

#### DETERMINATION OF THE FORCES COURSE IN HEAD AND TAIL ROPES OF A HOIST DURING THE OVERWIND ARRESTING OF CONVEYANCES

This paper presents the analytical dependences worked out from the wave equation to determine the dynamic forces in the ropes generated there due to the overwind arresting of the conveyances, all based on the pattern of a hoist installation including the elasticity of both the head and the tail ropes as well as their continuous mass distribution. The dependences have been plotted. The simplified criteria to set the characteristics of the arresting forces are also given.

#### ОПРЕДЕЛЕНИЕ ДИНАМИЧЕСКИХ СИЛ В ГЛАВНЫХ И УРАВНОВЕШИВАЮЩИХ КАНАТАХ ПОДЪЕМНОЙ УСТАНОВКИ В АВАРИЙНОМ СОСТОЯНИИ ПРИ КОНЕЧНОМ ПОЛОЖЕНИИ ПОДЪЕМНЫХ СОСУДОВ

Опираясь на модели подъемной установки в которой учитывается упругость канатов, а также непрерывное размещение их массы выводятся уравнения динамических сил в канатах. Дается пример расчетов для большого подъемного устройства с машиной на копёре. Работа иллюстрируется соответствующими графиками,